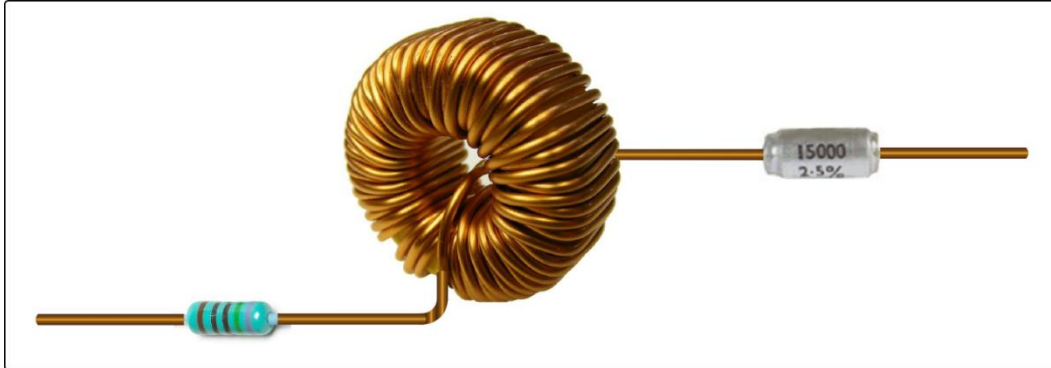
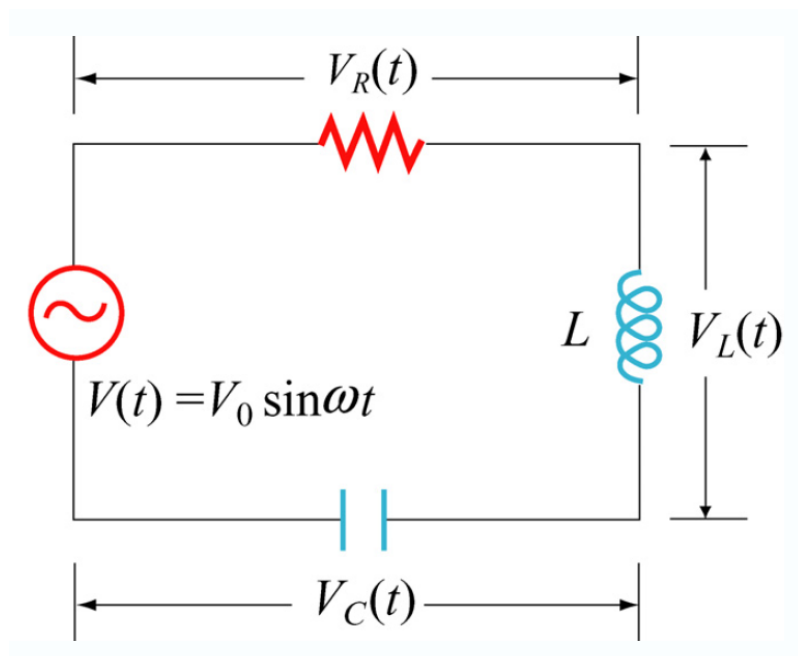


## O CIRCUITO RLC SÉRIE

O circuito RLC constitui um exemplo importante e ilustrativo de um **oscilador harmônico amortecido**, e que nos possibilita introduzir uma discussão quantitativa acerca de temas como *oscilações forçadas*, *resposta transiente*, *resposta estacionária*, *ressonância*, etc.



*RLC series* (2010–SpinningSpark) (commons.wikimedia.org)



Circuito RLC série alimentado por uma fonte de força eletromotriz alternada  
[*Alternating-Current Circuits* (web.mit.edu)]

Para compreender que um circuito RLC é um oscilador harmônico amortecido, considere um circuito RLC série, isto é, uma associação em série de uma resistência  $R$ , uma indutância  $L$  e uma capacitância  $C$ , alimentada por uma força eletromotriz  $V(t)$  dependente do tempo  $t$ . A equação de circuito é

$$V(t) = RI(t) + L \frac{dI(t)}{dt} + \frac{Q(t)}{C}, \quad (1)$$

onde  $Q(t)$  é a carga no capacitor e  $I(t)$  é a corrente no circuito. Diferenciando a última equação uma vez com relação ao tempo, e fazendo uso da relação  $I(t) = dQ(t)/dt$ , obtém-se

$$\frac{dV(t)}{dt} = R \frac{dI(t)}{dt} + L \frac{d^2I(t)}{dt^2} + \frac{I(t)}{C} \quad \text{ou} \quad L \frac{d^2I(t)}{dt^2} = -\frac{I(t)}{C} - R \frac{dI(t)}{dt} + \frac{dV(t)}{dt} \quad (2)$$

Podemos comparar a equação diferencial acima com aquela obtida para um sistema massa mola (de massa  $m$  e constante elástica  $k$ ) sujeito a uma força de atrito com coeficiente de amortecimento  $b$ , e a uma força externa  $F(t)$ :

$$m \frac{d^2x(t)}{dt^2} = -kx(t) - b \frac{dx(t)}{dt} + F(t)$$

Obtemos então a seguinte **analogia** entre os sistemas mecânico e elétrico acima considerados

Sistema Massa-Mola Amortecido	Circuito RLC
força externa $F(t)$	derivada temporal $\frac{dV(t)}{dt}$ da f.e.m. aplicada
deslocamento $x(t)$	corrente elétrica $I(t)$
massa $m$	indutância $L$
constante elástica $k$	recíproco da capacitância $\frac{1}{C}$
coeficiente de amortecimento $b$	resistência elétrica $R$

A equação de circuito (2) pode ser reescrita como

$$\frac{d^2 I(t)}{dt^2} + \Gamma \frac{dI(t)}{dt} + \omega_0^2 I(t) = \frac{1}{L} \frac{dV(t)}{dt}, \quad (3)$$

onde  $\omega_0^2 = \frac{1}{LC}$  e  $\Gamma = \frac{R}{L}$ , onde  $\omega_0$  e  $\Gamma$  são a *frequência natural* e a *constante de amortecimento* do circuito, respectivamente.

Neste experimento consideraremos o caso particular em que a f.e.m.  $V(t)$  aplicada ao circuito é harmônica e de frequência  $\omega$ , para a qual podemos escrever  $V(t) = V_0 \sin \omega t$ . Neste caso obtemos

$$\frac{d^2 I(t)}{dt^2} + \Gamma \frac{dI(t)}{dt} + \omega_0^2 I(t) = \frac{\omega V_0}{L} \cos \omega t, \quad (4)$$

Pode-se mostrar que, para este caso, a resposta mais geral  $I(t)$  à excitação harmônica  $V(t) = V_0 \sin \omega t$  é dada pela superposição  $I(t) = I_1(t) + I_2(t)$ , de uma componente *transiente*  $I_1(t)$  (isto é, que decai com o tempo), e de componente *estacionária*  $I_2(t)$ , onde

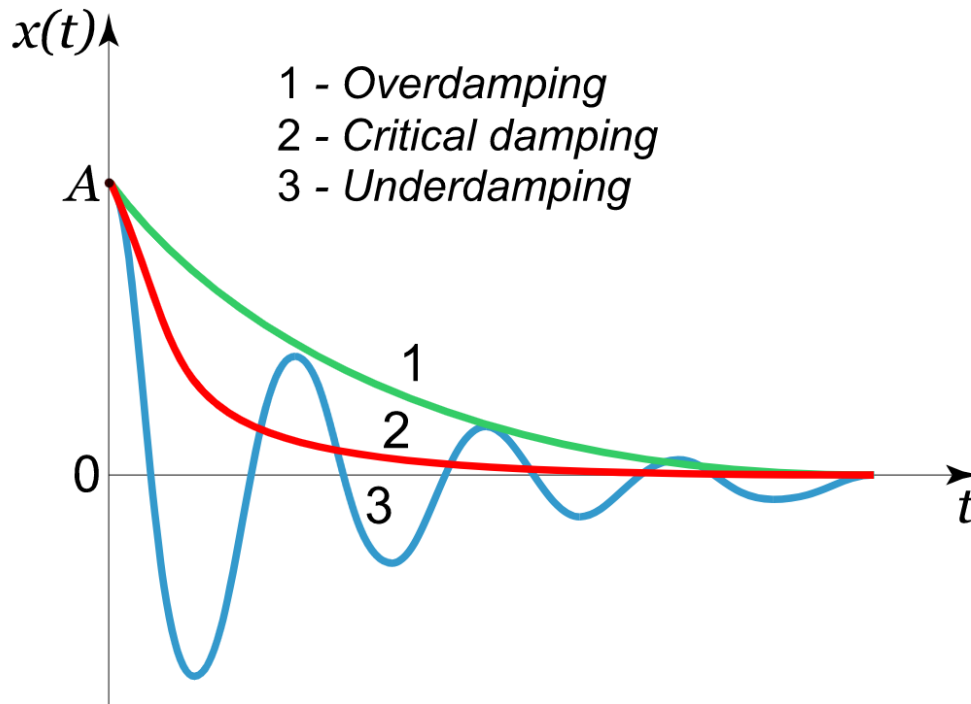
$$I_1(t) = e^{-\left(\frac{\Gamma}{2}\right)t} \times \begin{cases} A_1 \sin(\omega_1 t) + B_1 \cos(\omega_1 t), & \text{se } \frac{\Gamma}{2} < \omega_0 \text{ (subamortecimento)} \quad (5a) \\ A_1 + B_1 t, & \text{se } \frac{\Gamma}{2} = \omega_0 \text{ (amortecimento crítico)} \quad (5b) \\ A_1 e^{\lambda_1 t} + B_1 e^{-\lambda_1 t}, & \text{se } \frac{\Gamma}{2} > \omega_0 \text{ (sobreamortecimento)} \quad (5c) \end{cases}$$

sendo  $\omega_1 = \sqrt{\omega_0^2 - \frac{\Gamma^2}{4}}$ ,  $\lambda_1 = \sqrt{\frac{\Gamma^2}{4} - \omega_0^2}$ , as amplitudes  $A_1$  e  $B_1$  dependentes das condições iniciais, e

$$I_2(t) = \frac{\frac{\omega V_0}{L}}{\sqrt{(\omega^2 - \omega_0^2)^2 + \Gamma^2 \omega^2}} \cos(\omega t - \delta) \quad (6)$$

onde a fase  $\delta$  é dada por  $\text{tg} \delta = \frac{\omega \Gamma}{\omega_0^2 - \omega^2}$ .

(Talvez seja adequado, neste ponto, recordar, da teoria de equações diferenciais ordinárias, que a solução geral de uma equação diferencial não homogênea de segunda ordem, como (3), é dada pela soma de uma solução particular arbitrária da mesma e da solução geral da equação homogênea correspondente (obtida fazendo o segundo membro da equação igual a zero). Para a equação diferencial objeto de nosso interesse (4), a solução particular da equação não homogênea é dada pela resposta estacionária  $I_2(t)$ , enquanto que a solução geral da equação homogênea é a resposta transiente  $I_1(t)$ .



Oscilações livres num circuito RLC sob diferentes graus de amortecimento  
[*Damped Oscillations in Series RLC Circuit* (math24.net)].

É nosso propósito, no experimento que segue, investigar as respostas transiente e estacionária de um circuito RLC série excitado por uma f.e.m. harmônica.

Para o propósito de analisar a evolução temporal da energia armazenada no circuito, consideremos mais detalhadamente a resposta transiente  $I_1(t)$ . Aqui restringiremos nossa análise ao caso de **subamortecimento** ( $\Gamma < 2\omega_0$ ). Neste caso podemos reexpressar esta resposta como

$$I_1(t) = C_1 e^{-\left(\frac{\Gamma t}{2}\right)} \cos(\omega_1 t - \delta_1), \quad (7)$$

onde  $C_1$  e  $\delta_1$  são, respectivamente, valores de amplitude e fase (estabelecidas pelas condições iniciais). A evolução temporal da resposta consiste de uma **oscilação harmônica**, de frequência  $\omega_1$ , **modulada por uma função exponencialmente decrescente**. A resposta transiente é aquela que seria obtida se o sistema fosse excitado momentaneamente (por

exemplo, carregando o capacitor) e deixado, a partir de então, evoluir livremente, na ausência de uma f.e.m. externa. É interessante determinar a evolução temporal da energia total  $E(t)$  armazenada no circuito RLC. Esta energia é composta das energias  $E_C(t)$  e  $E_L(t)$  armazenadas no capacitor e no indutor, respectivamente, dadas por

$$E_C(t) = \frac{1}{2} \frac{1}{C} Q_1(t)^2 \quad \text{e} \quad E_L(t) = \frac{1}{2} L I_1(t)^2$$

onde  $Q_1(t)$  é a carga no capacitor. Podemos obter  $Q_1(t)$  por integração através da relação  $Q_1(t) = Q_1(0) + \int_0^t I_1(t') dt'$ . Através de uma escolha adequada do valor inicial  $Q_1(0)$  da carga no capacitor, sem perda de generalidade, obtemos, a partir de (5a),

$$Q_1(t) = \frac{C_1}{\sqrt{\omega_1^2 + \frac{\Gamma^2}{4}}} e^{-\left(\frac{\Gamma t}{2}\right)} \cos(\omega_1 t - \delta'_1) = \frac{C_1}{\omega_0} e^{-\left(\frac{\Gamma t}{2}\right)} \cos(\omega_1 t - \delta'_1), \quad \text{com}$$

$$\text{tg} \delta'_1 = \frac{\frac{\Gamma}{2} \text{tg} \delta_1 - \omega_1}{\frac{\Gamma}{2} \text{tg} \delta_1 + \omega_1},$$

onde se fez uso de  $\omega_1 = \sqrt{\omega_0^2 - \frac{\Gamma^2}{4}}$ .

(Sugestão: faça uso dos resultados

$$\int e^{ax} \cos bx \, dx = \frac{e^{ax} (a \cos bx + b \sin bx)}{a^2 + b^2} \quad \text{e} \quad \int e^{ax} \sin bx \, dx = \frac{e^{ax} (a \sin bx - b \cos bx)}{a^2 + b^2}$$

A energia total armazenada no circuito é então

$$\begin{aligned} E(t) = E_C(t) + E_L(t) &= \frac{1}{2} \left( \frac{1}{C \omega_0^2} + L \right) C_1^2 e^{-\Gamma t} [\cos^2(\omega_1 t - \delta'_1) + \cos^2(\omega_1 t - \delta_1)] \\ &= L C_1^2 e^{-\Gamma t} [\cos^2(\omega_1 t - \delta'_1) + \cos^2(\omega_1 t - \delta_1)] \end{aligned} \quad (8)$$

Observamos que a evolução temporal da energia total armazenada no circuito apresenta um comportamento oscilatório (com uma frequência  $2\omega_1$ ) e um decaimento exponencial (com uma constante de tempo  $1/\Gamma$ ). Consideremos a média temporal  $\langle E(t) \rangle$  desta energia, tomada durante um ciclo de oscilação (da carga ou corrente no circuito), de duração  $2\pi / \omega_1$ , dada por

$$\langle E(t) \rangle = \frac{1}{\left(\frac{2\pi}{\omega_1}\right)} \int_t^{t+\frac{2\pi}{\omega_1}} E(t') dt'. \quad (9)$$

No caso de amortecimento fraco ( $\Gamma/\omega_0 \ll 1 \Rightarrow \omega_1 \approx \omega_0$  e  $\Gamma/\omega_1 \ll 1$ ) é uma boa aproximação considerar o fator exponencial  $e^{-\Gamma t}$  constante na integral que se obtém inserindo (8) em (9). Tendo em vista o resultado

$$\langle \cos^2(\omega t - \delta) \rangle = \frac{1}{\left(\frac{2\pi}{\omega}\right)} \int_t^{t+\frac{2\pi}{\omega}} \cos^2(\omega t' - \delta) dt' = \frac{1}{2},$$

obtemos  $\langle E(t) \rangle = LC_1^2 e^{-\Gamma t}$ , e a taxa de perda de energia média armazenada no circuito é  $-\frac{d\langle E(t) \rangle}{dt} = \Gamma \langle E(t) \rangle$ , o que significa que durante um período de oscilação a energia armazenada média perdida é  $\Gamma \langle E(t) \rangle (2\pi/\omega_1)$ . Um termo comumente usado para um sistema oscilante é o *fator de qualidade*  $Q$ , definido como o produto de  $2\pi$  pela razão entre a energia (média) armazenada e a energia (média) perdida durante um período de oscilação. Obtemos então, para o caso de amortecimento fraco,

$$Q = 2\pi \frac{\langle E(t) \rangle}{\Gamma \langle E(t) \rangle (2\pi/\omega_1)} = \frac{\omega_1}{\Gamma} \approx \frac{\omega_0}{\Gamma}.$$

O fator de qualidade será tanto maior quanto menor for o amortecimento no sistema (no caso do circuito RLC, quanto menor for a resistência  $R$  ou a constante de amortecimento

$$\Gamma = \frac{R}{L}).$$

Consideremos agora a **resposta estacionária**. Uma característica importante da mesma é que sua amplitude  $I_0(\omega)$  definida por

$$I_2(t) = I_0(\omega) \cos(\omega t - \delta) = \frac{1}{Z(\omega)} V_0 \cos(\omega t - \delta), \quad (10)$$

onde

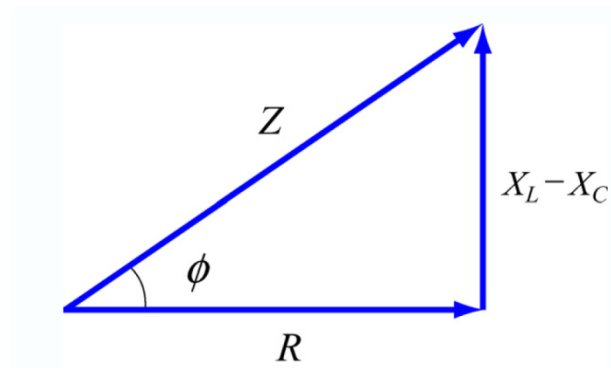
$$Z(\omega) = \frac{\sqrt{(\omega^2 - \omega_0^2)^2 + \Gamma^2 \omega^2}}{\frac{\omega}{L}}$$

**depende da frequência  $\omega$** , o que gera o fenômeno de **ressonância**. Isto é facilmente compreendido mostrando que a grandeza  $1/Z(\omega)$  é uma função bem comportada da frequência  $\omega$  em todo o intervalo aberto  $(0, \infty)$  e possui um máximo local em  $\omega = \omega_0$  (e único neste intervalo). Assim a resposta estacionária  $I_2(t)$  terá uma amplitude máxima em  $\omega = \omega_0$ , para uma dada amplitude  $V_0$  de f.e.m. harmônica aplicada. A grandeza  $Z(\omega)$  é a chamada **impedância** do circuito (RLC). É interessante notar que  $Z(\omega)$  pode ser expressa (lembrando que  $\omega_0^2 = \frac{1}{LC}$  e  $\Gamma = \frac{R}{L}$ ) na forma

$$Z(\omega) = \sqrt{R^2 + \left(\omega L - \frac{1}{\omega C}\right)^2}$$

As grandezas  $X_L = \omega L$  e  $X_C = \frac{1}{\omega C}$  são denominadas **reatância indutiva** e **reatância capacitiva**, respectivamente, dos elementos indutivo e capacitivo circuito. Fica então claro que a

condição de ressonância do circuito RLC série corresponde à igualdade entre as reatâncias indutiva e capacitiva de tais elementos.



Representação diagramática da relação entre  $Z$ ,  $X_L$  e  $X_C$ .  
[*Alternating-Current Circuits* (web.mit.edu)]

Voltando à equação (6), notamos que também podemos reescrevê-la na forma

$$I_2(t) = \frac{\frac{\omega V_0}{L}}{\sqrt{(\omega^2 - \omega_0^2)^2 + \Gamma^2 \omega^2}} \sin\left(\omega t - \delta + \frac{\pi}{2}\right) = \frac{\frac{\omega V_0}{L}}{\sqrt{(\omega^2 - \omega_0^2)^2 + \Gamma^2 \omega^2}} \sin(\omega t - \phi),$$

onde  $\phi = \delta - \frac{\pi}{2}$ , e portanto  $\text{tg}\phi = -\frac{1}{\text{tg}\delta} = -\frac{\omega_0^2 - \omega^2}{\omega\Gamma} = \frac{\omega^2 - \omega_0^2}{\omega\Gamma} = \frac{\left(\omega L - \frac{1}{\omega C}\right)}{R}$ .

Então notamos que há um defasamento entre a voltagem  $[V(t) = V_0 \sin \omega t]$  aplicada ao circuito e a corrente  $I_2(t)$  (resposta estacionária) nele produzida e esta diferença de fase  $\phi$ , dada por

$$\text{tg}\phi = \frac{(X_L - X_C)}{R},$$

depende da resistência e das reatâncias indutiva e capacitiva do circuito.

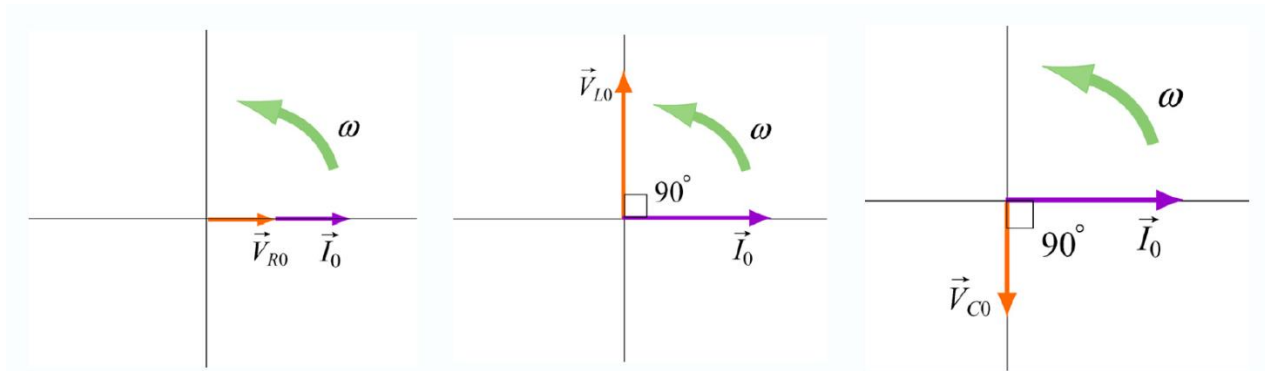


Diagrama fasorial para a relação entre corrente e voltagem no resistor, indutor e capacitor de um circuito RLC série.

[*Alternating-Current Circuits* (web.mit.edu)]

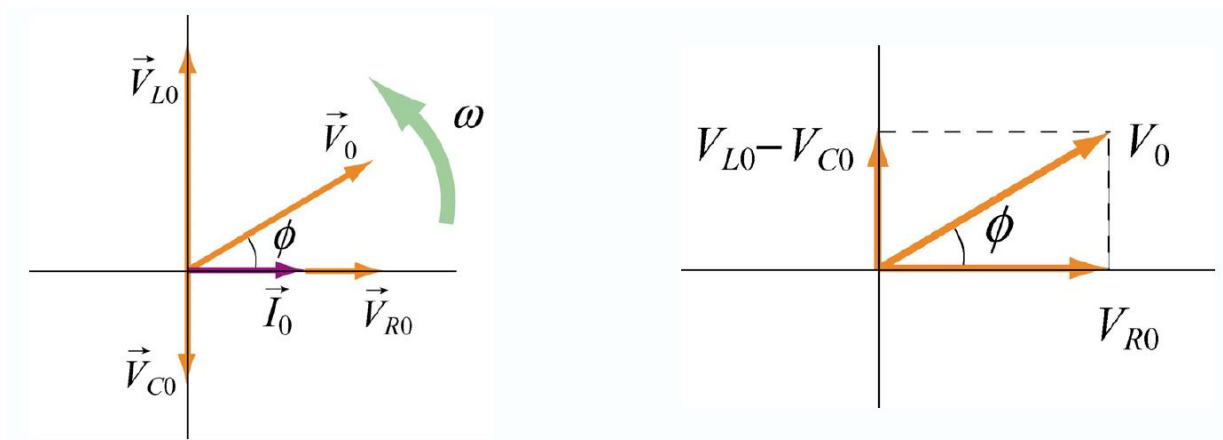
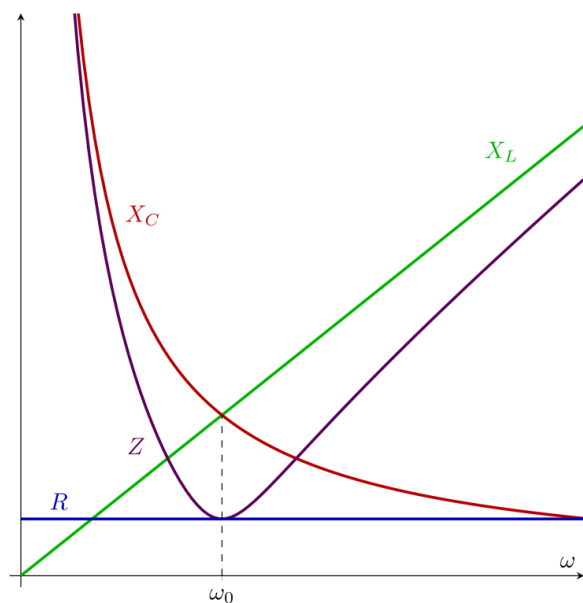


Diagrama fasorial para um circuito RLC série.

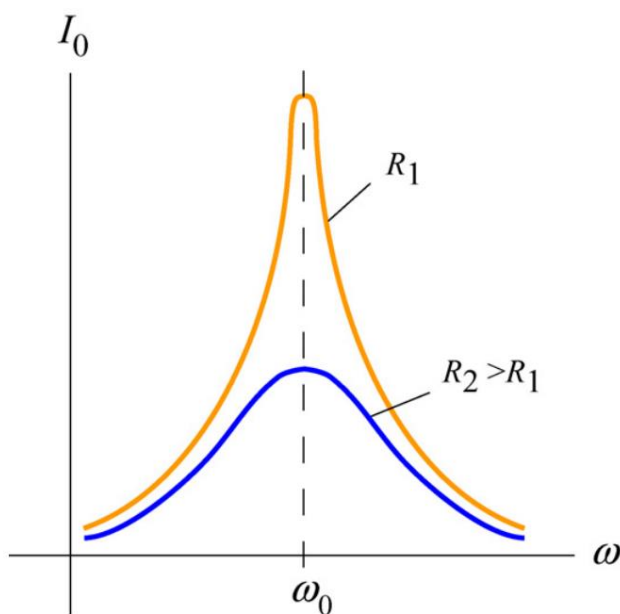
[*Alternating-Current Circuits* (web.mit.edu)]



Note que se o circuito for mais indutivo que capacitivo ( $X_L > X_C$ ), a corrente  $I_2(t)$  estará atrasada em relação à voltagem  $V(t)$ , e inversamente, estará adiantada em relação à voltagem se o circuito for mais capacitivo que indutivo ( $X_L < X_C$ ). Qual será o defasamento entre  $I_2(t)$  e  $V(t)$  na condição de ressonância?



Dependência da impedância e das reatâncias (indutiva e capacitiva) com a frequência angular num circuito RLC série, excitado por uma força eletromotriz harmônica (*Series RLC circuit impedance* (2019–Subjektivisti) (commons.wikimedia.org)).



Curvas de ressonância para um circuito RLC série, sob diferentes graus de amortecimento [*The amplitude of the current as a function of  $\omega$  in the driven RLC circuit* (web.mit.edu)].

A largura da curva de ressonância é claramente dependente do fator de amortecimento  $\Gamma$ . É comum quantificar esta largura considerando os pontos meia altura, isto é os valores de  $\omega$  para os quais  $1/Z(\omega)$  é igual à metade de seu valor máximo. Pode-se mostrar facilmente que estes valores são dados por

$$\omega = \omega_{(+)} = \omega_0 \left( \sqrt{1 + \frac{3\Gamma^2}{4\omega_0^2}} + \sqrt{\frac{3}{4}\frac{\Gamma}{\omega_0}} \right) \quad \text{e} \quad \omega = \omega_{(-)} = \omega_0 \left( \sqrt{1 + \frac{3\Gamma^2}{4\omega_0^2}} - \sqrt{\frac{3}{4}\frac{\Gamma}{\omega_0}} \right). \quad (11)$$

Uma medida quantitativa da “definição (clareza) de sintonização” da curva de ressonância (isto é, do quão pronunciado é o pico de ressonância) é dada pelo quociente entre a frequência de ressonância  $\omega_0$  e a “largura a meia altura” é  $\Delta\omega = \omega_{(+)} - \omega_{(-)}$ . No caso de amortecimento fraco ( $\Gamma/\omega_0 \ll 1$ ), obtém-se através de (11), que este quociente é dado aproximadamente por  $(1/\sqrt{3}) (\omega_0 / \Gamma)$ . Então observamos que uma medida da clareza de sintonização do circuito é dada pelo fator de qualidade  $Q = (\omega_0 / \Gamma)$ , que fora definido anteriormente, no contexto de oscilações livres, como uma medida da capacidade de um sistema oscilante em manter sua energia armazenada, a despeito da presença do amortecimento.

É conveniente expressar a resposta estacionária em termos das grandezas adimensionais  $x = \frac{\omega}{\omega_0}$  (“frequência reduzida”) e  $Q$ :

$$\frac{I_0(\omega)}{V_0/R} = \frac{R}{Z(\omega)} = \frac{x}{\sqrt{Q^2(x^2 - 1)^2 + x^2}} = \frac{1}{\sqrt{Q^2\left(x - \frac{1}{x}\right)^2 + 1}} \quad (12)$$

Observe que  $I_r = V_0/R$  é o valor da amplitude da corrente estacionária  $I_2(t)$  na condição de ressonância (isto é, para  $x = 1$ ). Então a relação (12) nos permite expressar a curva de ressonância em termos da dependência corrente “reduzida”  $I(x) (= \frac{I_0(\omega)}{I_r} = \frac{I_0(\omega)}{V_0/R})$  versus frequência “reduzida”  $x$ .

## APÊNDICE – Resposta Estacionária – Solução Mediante Representação Complexa

Voltemos à equação (4):

$$\frac{d^2 I(t)}{dt^2} + \Gamma \frac{dI(t)}{dt} + \omega_0^2 I(t) = \frac{\omega V_0}{L} \cos \omega t.$$

Na forma complexa ela pode ser colocada na forma

$$\frac{d^2 I(t)}{dt^2} + \Gamma \frac{dI(t)}{dt} + \omega_0^2 I(t) = \frac{\omega V_0}{L} e^{i\omega t}. \quad (4a)$$

Propondo uma solução (estacionária) na forma  $I_2(t) = A e^{i\omega t}$ , onde  $A$  é uma grandeza complexa, obtemos, substituindo  $I_2(t)$  para  $I(t)$  em (4a):

$$(-\omega^2 A e^{i\omega t}) + \Gamma(i\omega A e^{i\omega t}) + \omega_0^2 (A e^{i\omega t}) = \frac{\omega V_0}{L} e^{i\omega t} \quad \text{ou}$$

$$(-\omega^2 + i\omega\Gamma + \omega_0^2) A e^{i\omega t} = \frac{\omega V_0}{L} e^{i\omega t},$$

o que nos leva a

$$A = \frac{\frac{\omega V_0}{L}}{(-\omega^2 + i\omega\Gamma + \omega_0^2)} = \frac{\frac{\omega V_0}{L}(\omega_0^2 - \omega^2 - i\omega\Gamma)}{[(\omega^2 - \omega_0^2)^2 + \Gamma^2 \omega^2]} = \frac{\frac{\omega V_0}{L} \sqrt{(\omega^2 - \omega_0^2)^2 + \Gamma^2 \omega^2} e^{-i\delta}}{[(\omega^2 - \omega_0^2)^2 + \Gamma^2 \omega^2]} = \frac{\left(\frac{\omega V_0}{L}\right) e^{-i\delta}}{\sqrt{(\omega^2 - \omega_0^2)^2 + \Gamma^2 \omega^2}},$$

$$\text{onde } \text{tg} \delta = \frac{\omega\Gamma}{\omega_0^2 - \omega^2}.$$

(Note que fizemos uso da identidade  $a + ib = \sqrt{a^2 + b^2} e^{i\phi}$ , onde  $\text{tg} \phi = \frac{b}{a}$ ).

$$\text{Então } I_2(t) = A e^{i\omega t} = \frac{\left(\frac{\omega V_0}{L}\right) e^{-i\delta}}{\sqrt{(\omega^2 - \omega_0^2)^2 + \Gamma^2 \omega^2}} e^{i\omega t} = \frac{\left(\frac{\omega V_0}{L}\right)}{\sqrt{(\omega^2 - \omega_0^2)^2 + \Gamma^2 \omega^2}} e^{i(\omega t - \delta)},$$

cuja parte real é

$$\text{Re} \{I_2(t)\} = \frac{\frac{\omega V_0}{L}}{\sqrt{(\omega^2 - \omega_0^2)^2 + \Gamma^2 \omega^2}} \cos(\omega t - \delta).$$

Note também que a relação  $A = \frac{\frac{\omega V_0}{L}}{(-\omega^2 + i\omega\Gamma + \omega_0^2)}$  pode ser colocada na forma

$$A = \frac{V_0}{\left(-\omega L + i\Gamma L + \frac{L\omega_0^2}{\omega}\right)} = \frac{-iV_0}{\left[R + i\left(\omega L - \frac{1}{\omega C}\right)\right]}, \text{ onde fizemos uso de } \omega_0^2 = \frac{1}{LC} \text{ e } \Gamma = \frac{R}{L}.$$

Então  $A = \frac{-iV_0}{\left[R + i\left(\omega L - \frac{1}{\omega C}\right)\right]}$  e  $I_2(t) = \frac{-iV_0}{\left[R + i\left(\omega L - \frac{1}{\omega C}\right)\right]} e^{i\omega t}$ .

Notando que  $-iV_0 e^{i\omega t} = V_0 \sin \omega t$  (para  $V_0$  real) faz sentido definir a grandeza

$$Z(\omega) = R + i\left(\omega L - \frac{1}{\omega C}\right)$$

como a **impedância complexa** do circuito RLC série.